

реакций им. Флерова установка COMBAS для получения радиоактивных пучков на выведенном пучке тяжелых ионов соответствующие параметры имеют величины 6.4 мср и $\pm 6\%$.

Необходимо отметить некоторые технические трудности в разработке и размещении фокусирующих каналов с требуемыми параметрами. В настоящее время разрабатываются конструкции мишени и каналов и готовится проведение эксперимента.

Список литературы

- [1] *D'Auria J.M.* // NIM. 1992. Vol. B70. P. 398-406.
- [2] *Harar S.* // Proc. of 4th European Part. Acc. Conf. Vol. 1. P. 300-304.
- [3] *Darquennes D. et al* // Phys. Rev. 1990. Vol. C42. P. 804-809.
- [4] *Sherrill B.M.* // Proc. of 2nd Intern. Conf. on Radioactive Nuclear Beams / Ed. Th. Delbon. Louvain-la-Neuve, 1991. P. 3-8.
- [5] *Taniha T. et al.* // Phys. Lett. 1985. Vol. 160B. P. 380-383.
- [6] *Munzenberg G.* // NIM. 1992. Vol. B70. P. 265-270.
- [7] *Gulbekyan G. et al.* // XIII Intern. Conf. on Cycl. and Their Appl. Vancouver, 1992. P. 11-21.
- [8] *Акишин П.Г., Борисов О.Н., Гульбекян Г.Г.* // XIII Всесоюз. совещание по ускорителям заряженных частиц. № Д9-92-455. Дубна, 1992. Т. 1. С. 112-115
- [9] *Борисов О.Н., Гульбекян Г.Г.* // XIII Всесоюз. совещ. по ускорителям заряженных частиц. № Д9-92-455 Дубна, 1992. Т. 1 С. 116-117.

01;07;08

Журнал технической физики, т. 66, в. 6, 1996

РАМАН-НАТОВСКАЯ ДИФРАКЦИЯ СВЕТА НА УЛЬТРАЗВУКЕ В ПЛАНАРНЫХ ГИРОТРОПНЫХ ОПТИЧЕСКИХ ВОЛНОВОДАХ ВО ВНЕШНЕМ ЭЛЕКТРИЧЕСКОМ ПОЛЕ

© Г.В.Кулак

Мозырский государственный педагогический институт,
247760 Мозырь, Белоруссия
(Поступило в Редакцию 24 марта 1995 г.)

Исследование планарного акустооптического АО взаимодействия в гиротропных кубических кристаллах во внешнем электрическом поле представляет значительный интерес для оптоэлектроники [1], поскольку ряд кристаллов структуры силленита ($\text{Bi}_{12}\text{GeO}_{20}$, $\text{Bi}_{12}\text{SiO}_{20}$, $\text{Bi}_{12}\text{TiO}_{20}$ и др.) обладает высокой удельной вращательной способностью и одновременно электрооптическим эффектом. Волноводные свойства планарных структур на основе кристаллов структуры силленита исследованы в работах [2,3]. В [4] изучены волноводные свойства многослойных планарных структур на основе одноосных гиротропных кристаллов парателлуриата (TeO_2) и кварца (SiO_2).

Если в одноосных и двуосных кристаллах гиротропия проявляется лишь для направлений распространения света, близких к оптическим осям, то в изотропной среде и в кубическом кристалле ее необходимо принимать во внимание при любой геометрии взаимодействия света и

ультразвука [5,6]. В работах [7,8] рассмотрены особенности планарного брэгговского АО взаимодействия в гиротропных одноосных и кубических кристаллах. Показано, что оптическая гиротропия существенно изменяет поляризационные и энергетические характеристики дифрагированного света.

В настоящей работе с использованием метода медленно меняющихся амплитуд рассмотрены особенности раман-натовской АО дифракции в планарных гиротропных оптических волноводах во внешнем электрическом поле.

Предположим, что планарный оптический волновод занимает пространство между плоскостями $z = 0$ и $z = h$. При этом показатели преломления покрытия, волноводной пленки и подложки равны соответственно n_c, n_f, n_s . В [9] показано, что в гиротропном оптическом волноводе существуют в общем случае гибридные волны (моды), которые можно разделить на TE - и TM -подобные. Несложно показать, однако, что для маломодовых оптических волноводов, изготовленных с использованием известных акустооптических кристаллов, оптическая гиротропия приводит к малому возмущению тензора диэлектрической проницаемости и, как следствие, приближенному разделению на TE - и TM -моды. Вектор-функции, учитывающие пространственное распределение электрических полей в покрытии, пленке и подложке, приведены в [9,10].

Предположим, что вдоль оси OY , совпадающей с кристаллографической осью или направлением $\langle 110 \rangle$ гиротропного кубического кристалла, распространяется поверхностная акустическая волна (ПАВ) рэлеевской поляризации. В случае волноводной пленки из оптически одноосного кристалла двухпарциальная ПАВ должна распространяться ортогонально оптической оси. Известно, что наряду с экспоненциальным затуханием изменение нормальной составляющей амплитуды смещения U_3 волны имеет осциллирующий характер [11]. Компоненты тензора деформаций ПАВ запишем в виде [12]

$$U_{q2} = B_{q2} V_{q2}(z) \exp[i(\mathbf{K}\mathbf{r} - \Omega t)]; \quad q = 1, 2, 3, \quad (1)$$

где B_{q2} — амплитуда деформаций; V_{q2} — функция поперечного распределения в пленке и подложке; $|\mathbf{K}| = \Omega/v_r$, где Ω, v_r — круговая частота и скорость ПАВ.

Предположим, что направляющая волноводная мода распространяется вдоль оптической оси одноосного кристалла либо кристаллографической оси кубического кристалла. При нормальном падении света на область АО взаимодействия и ширине U_3 пучка l , удовлетворяющей соотношению $l \leq N_0 \Lambda^2 / \lambda_0$ (N_0 — эффективный показатель преломления направляющей моды падающего света, λ_0 — длина световой волны в вакууме, Λ — длина звуковой волны), наблюдается дифракция Рамана-Ната [10].

Трехслойная структура, состоящая из покрытия, волноводной пленки и подложки, обладает одноосной оптической анизотропией. При этом эффективные тензоры невозмущенной диэлектрической проницаемости $\hat{\epsilon}^m$ ($m = 0, \pm 1, \pm 2, \dots$) для волноводных мод $TE(TM)$ -поляризации с эффективными показателями преломления N_a^m (N_b^m) имеют

отличные от нуля компоненты $\varepsilon_{11}^m = (N_a^m)^2$, $\varepsilon_{22}^m = \varepsilon_{33}^m = (N_b^m)^2$. Воздействие ультразвука и внешнего электрического поля приводит к образованию для каждой из мод периодической решетки диэлектрической проницаемости вида

$$\hat{\varepsilon}_m = \varepsilon^m + \widehat{\Delta\varepsilon}_e^m + \widehat{\Delta\varepsilon}^m \cos(\mathbf{K}\mathbf{r} - \Omega t), \quad (2)$$

где $\Delta\varepsilon_{ij}^m = -\varepsilon_{ik}^m \varepsilon_{lj}^m p_{klfq} S_{fq}$, p_{klfq} — компоненты тензора фотоупругих постоянных, S_{fq} — компоненты тензора деформаций; $(\Delta\varepsilon_e^m)_{ij} = -\varepsilon_{ik}^m \times \varepsilon_{ij}^m r_{klt} E_t^0$, r_{klt} — компоненты тензора электрооптических постоянных.

Из уравнений Максвелла следует волновое уравнение вида

$$\nabla^2 \mathbf{E} - \nabla(\nabla \mathbf{E}) - \frac{1}{c^2} \frac{\partial^2 \mathbf{D}}{\partial t^2} = 0, \quad (3)$$

где \mathbf{E} и \mathbf{D} — соответственно вектора напряженности и индукции электрического поля световой волны, c — скорость света в вакууме.

Решение волнового уравнения (3) ищем в виде

$$\mathbf{D} = \sum_{m=-\infty}^{+\infty} D_m \exp[i(\mathbf{k}_m \mathbf{r} - \omega_m t)], \quad (4)$$

$$\mathbf{E} = \sum_{m=-\infty}^{+\infty} \left\{ \hat{\varepsilon}_m^{-1} \mathbf{D}_m - \frac{i}{\hat{\varepsilon}_m} [\hat{G} \mathbf{n}_m, \mathbf{D}_m] \right\} \exp[i(\mathbf{k}_m \mathbf{r} - \omega_m t)], \quad (5)$$

где $\mathbf{D}_m = \mathbf{e}_m e_m^a A_m(x) + \mathbf{e}_z e_m^b B_m(x)$, причем $\mathbf{k}_m = (\omega_m/c) \sqrt{\hat{\varepsilon}_m} (\cos \varphi_m, 0, \sin \varphi_m)$ — волновые векторы дифрагированных волн; $\omega_m = \omega \pm m\Omega$ — круговые частоты дифрагированных волн. Здесь введены обозначения $\hat{\varepsilon}_m = (1/3) S p \hat{\varepsilon}_{in}$; $\mathbf{e}_m = (-\sin \varphi_m, 0, \cos \varphi_m)$, $\mathbf{e}_z = (0, 0, 1)$, $\mathbf{n}_m = \mathbf{k}_m/|\mathbf{k}_m|$ — единичные векторы; $e_m^a \equiv e_m^a(z)$, $e_m^b \equiv e_m^b(z)$ — функции поперечного распределения индукций электрических полей соответственно TE - и TM -мод невозмущенного волновода [10]; \hat{G} — тензор гирации; ω — круговая частота падающего света.

При отсутствии УЗ возмущения, внешнего электрического поля и гиротропии в оптическом волноводе распространяются несвязанные TE - и TM -моды. Предполагается, что малые возмущения диэлектрической проницаемости не приводят к изменению собственных функций волновода [9].

Подставив (4), (5) в волновое уравнение (3) получим систему зацепляющихся дифференциальных уравнений относительно комплексных амплитуд A_m , B_m , $A_{m\pm 1}$, $B_{m\pm 1}$ вида

$$\begin{aligned} \frac{dA_m}{dx} &= i(\Delta_{ma}^{ae} + \Delta_{ma}^e) A_m + (\rho_m + i\Delta_{mb}^e) B_m + \\ &+ i\chi_{m,m+1}^{aa} A_{m+1} + i\chi_{m,m+1}^{ab} B_{m+1} + i\chi_{m,m-1}^{aa} A_{m-1} + i\chi_{m,m-1}^{ab} B_{m-1}, \\ \frac{dB_m}{dx} &= i(\Delta_{mb}^{ae} + \Delta_{mb}^{an}) B_m + (-\rho_m + i\Delta_{ma}^e) A_m + \\ &+ i\chi_{m,m+1}^{ba} A_{m+1} + i\chi_{m,m+1}^{bb} B_{m+1} + i\chi_{m,m-1}^{ba} A_{m-1} + i\chi_{m,m-1}^{bb} B_{m-1}, \end{aligned} \quad (6)$$

где

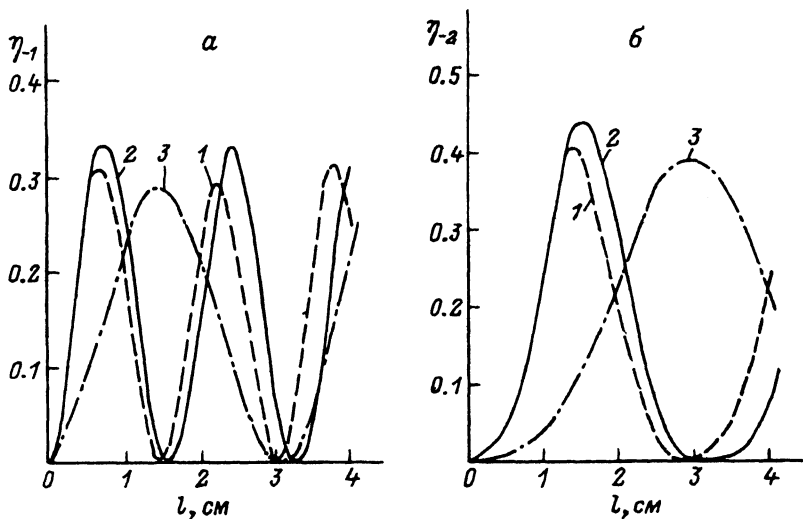
$$\begin{aligned} \Delta_{ma}^{ae} &= q_m (\mathbf{e}_m \Delta \varepsilon_m^e \mathbf{e}_m), & \chi_{m,m\pm 1}^{aa} &= q_{m\pm 1} F_{m,m\pm 1}^{aa} (\mathbf{e}_m \widehat{\Delta \varepsilon}^m \mathbf{e}_{m\pm 1}), \\ \Delta_{mb}^e &= q_m F_{m,m}^{ab} (\mathbf{e}_m \Delta \varepsilon_m^m \mathbf{e}_z), & \chi_{m,m\pm 1}^{ab} &= q_{m\pm 1} F_{m,m\pm 1}^{aa} (\mathbf{e}_m \widehat{\Delta \varepsilon}^m \mathbf{e}_z), \\ \Delta_{ma}^e &= q_m F_{m,m}^{ba} (\mathbf{e}_z \Delta \varepsilon_m^e \mathbf{e}_m), & \chi_{m,m\pm 1}^{ba} &= q_{m\pm 1} F_{m,m\pm 1}^{ba} (\mathbf{e}_z \widehat{\Delta \varepsilon}^m \mathbf{e}_{m\pm 1}), \\ \Delta_{mb}^{ae} &= q_m (\mathbf{e}_z \widehat{\Delta \varepsilon}_m^e \mathbf{e}_z), & \chi_{m,m\pm 1}^{bb} &= q_{m\pm 1} F_{m,m\pm 1}^{bb} (\mathbf{e}_z \widehat{\Delta \varepsilon}^m \mathbf{e}_z), \\ \Delta_{ma,b}^{an} &= q_m (\mathbf{e}_{m,z} \widehat{\delta \varepsilon}_m \mathbf{e}_{m,z}), & \rho_m &= (\widehat{G} \mathbf{n}_m) \mathbf{n}_m. \end{aligned}$$

Здесь $q_m = \omega_m / 2c\sqrt{\varepsilon_m} \cos \varphi_m$, $\widehat{\delta \varepsilon}_m = (\widehat{\varepsilon}^m - \bar{\varepsilon}_m)$; интегралы перекрытия полей $F_{p,q}^{st}$ даются соотношениями

$$F_{p,q}^{st} = \frac{\int_{-\infty}^h [e_p^s(z) V_{q2}(z) e_q^t(z)] dz}{\int_{-\infty}^h |e_p^s(z)|^2 dz},$$

где $s, t = a, b$; $p, q = m-1, m, m+1$.

Решение системы уравнений (6) следует искать с использованием граничных условий $A_0(0) = A \cos \psi$, $B_0(0) = A \sin \psi$, $A_m(0) = B_m(0) = 0$ ($m \neq 0$), где A — амплитуда падающего света; ψ — азимут поляризации падающего света, отсчитываемый от плоскости дифракции XU . В режиме сильного АО взаимодействия величина m должна удовлетворять соотношению $|m| \geq 2$. При этом для большинства случаев АО дифракции можно полагать $m = 0, \pm 1, \pm 2$.



Зависимости относительных интенсивностей дифрагированных волн первого (а) и второго (б) дифракционных порядков от длины области АО взаимодействия. $J_a = 1 \text{ Вт/см}^2$, $\psi = 0$; E^0 , кВ/см: 1, 3 — 1; 2 — 0; ρ : 1, 2 — 0; 3 — 3.9.

Численные расчеты проводились для планарного оптического волновода сформированного из кристалла германата висмута ($\text{Bi}_{12}\text{GeO}_{20}$), на подложке из кристалла силиката висмута ($\text{Bi}_{12}\text{SiO}_{20}$) [2,3]. Предполагалось, что падающая световая волна распространяется вдоль кристаллографического направления [001], а ПАВ распространяется вдоль оси [110]. При этом внешнее электрическое поле следует прикладывать вдоль направления [001]. Частота УЗ волны $f = 30$ МГц, длина световой волны в вакууме $\lambda_0 = 0.63$ мкм, толщина волноводной пленки $h = 5.8$ мкм, показатели преломления волноводной структуры $n_c = 1$, $n_f = 2.55$, $n_s = 2.5424$. Интенсивность ПАВ $J_a = 1$ Вт/см².

Относительные интенсивности дифрагированных волн первого ($\eta_{\pm 1}$) и второго ($\eta_{\pm 2}$) порядков находим из соотношений $\eta_{\pm 1} = (|A_{\pm 1}|^2 + |B_{\pm 1}|^2)/|A|^2$, $\eta_{\pm 2} = (|A_{\pm 2}|^2 + |B_{\pm 2}|^2)/|A|^2$. На рисунке представлены зависимости относительных интенсивностей дифрагированных волн первого (а) и второго (б) дифракционных порядков от длины l области АО взаимодействия. Из рисунка следует, что при отсутствии гиротропии и внешнего электрического поля распределение интенсивностей дифрагированных волн близко к бесселевому [10]. При "включении" гиротропии и внешнего электрического поля максимумы относительных интенсивностей достигаются при больших длинах АО взаимодействия. Данная особенность АО взаимодействия объясняется эллиптической поляризацией дифрагированных волн, индуцированных внешним электрическим полем в гиротропном кубическом кристалле.

Выражаю благодарность В.И. Кулак за помощь при проведении численных расчетов.

Список литературы

- [1] Семенов А.С., Смирнов В.Л., Шмалько А.В. Интегральная оптика для систем передачи и обработки информации. М., 1990. 96 с.
- [2] Абусев В.М., Леонов Е.И., Липовский А.А. и др. // Письма в ЖТФ. 1988. Т. 14. Вып. 17. С. 1555-1560.
- [3] Youden K.E., Eason R.W., Gower M.C., Vainos N.A. // Appl. Phys. Lett. 1991. Vol. 59. N 16. P. 1929-1931.
- [4] Sunita J., Abhai M. // J. Appl. Phys. 1992. Vol. 25. N 8. P. 1116-1120.
- [5] Бохуть Б.В., Сердуков А.Н., Федоров Ф.И. // Кристаллография. 1970. Т. 15. № 5. С. 1002-1006.
- [6] Федоров Ф.И. Теория гиротропии. Минск, 1976. 456 с.
- [7] Кулак Г.В., Ропот П.И. // ЖТФ. 1994. Т. 64. Вып. 1. С. 139-145.
- [8] Кулак Г.В. // Опт. и спектр. 1993. Т. 75. Вып. 5. С. 1086-1091.
- [9] Гончаренко А.М., Карпенко В.А. Основы теории оптических волноводов. Минск, 1983. 237 с.
- [10] Яковкин И.Б., Петров Д.В. Дифракция света на акустических поверхностных волнах. Новосибирск, 1979. 184 с.
- [11] Дзельсан Э., Руайе Д. Упругие волны в твердых телах. Применение для обработки сигналов. М., 1982. 424 с.
- [12] Введение в интегральную оптику / Под ред. Барноски. М., 1977. 367 с.